

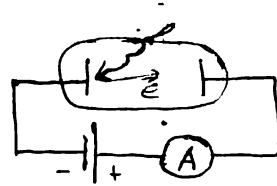
① Корпускулярные свойства электромагн. волн.
 Излучение. Фотоэлектрический эффект.
 Поглощение излучения. Эффект Комптона

1887г - Герц обнаружил явление внешнего фотоэффекта, но не стал им заниматься.

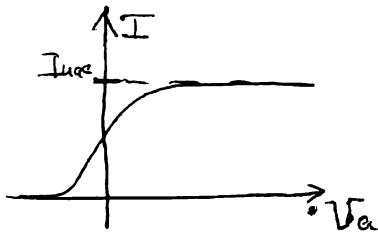
Позднее фотоэффект исследовал Столетов.

Фотоэффект - явление возникновения свободных электронов под действием внешнего излучения.

Установка для изучения:



ВАХ процесса (эксп)



Экспериментальные

сведения о фотоэффекте:

1) $I_{нас} = f(\Phi)$ Φ -св. пот.

2) фотоэффект протекает

безынерционно, т.е. фототок появл. с

излучением - одновременно с облучением.

3) $\exists \nu_{кр}$: $\nu < \nu_{кр}$ - нет фототока

4) $E_{кин}^{\bar{e}} = f(\nu)$; $E_{кин}^{\bar{e}} \neq f(\Phi)$ - кин. энергия

выбитых электронов не зависит от

потока, зависит только от частоты.

Классическое объяснение фотоэффекта -
раскачивание электронов эл-м волной -
не объясняет последние 3 св. в.

Объяснение - работа Эйнштейна по фотоэф.
металлом

Фотоэффект - поглощение γ квантов света

$h\nu$ с совершением работы выхода A
и выходом электронов с кин. энерг.

$$E \quad h\nu = A + \frac{m\nu^2}{2} = A + E_{кин}^e$$

- объясняет все св. в. фотоэффекта

Для объяснения фотоэффекта необходимо
предположить ~~распространение~~ поглощение
света квантами - порциями по $h\nu$

Объяснение св. в. фотоэффекта по Эйнст.

1) Безинерционность - следствие того, что
колебание электрона явл-ся следствием
мгновенного неупругого поглощения
кванта $h\nu$ металлом.

$$2) \int A = h\nu_0 \rightarrow E_k^e = h(\nu - \nu_0) \Rightarrow$$

при $\nu < \nu_0$ электроны не выходят:

4) $E_k^e = h\nu - A_{\text{вор.}}$ - зависит только от частоты ν и свойств материала.

Тормозное излучение

Для рентгенов. излуч. $h\nu \gg \lambda \Rightarrow$

$$E_k^e = h\nu; \quad eU = h\nu, \quad U - \text{усл. разн. пот. л.}$$

Тормозное излучение, или явление обратного фотоэффекта - получение рентгеновских квантов за счет ~~обскурации~~ кин. энергии электронов, бомбардирующих металл. Такой процесс происходит в рентгеновских трубах. Формула $eU = h\nu$ определяет в таком случае частоту рентгеновских квантов.

При бомбардировке антикатодного электрода тормозател, из-за чего возникает «тормозное рентгеновое излучение»: спектральное распределение тормозного излучения зависит от материала антикатада,

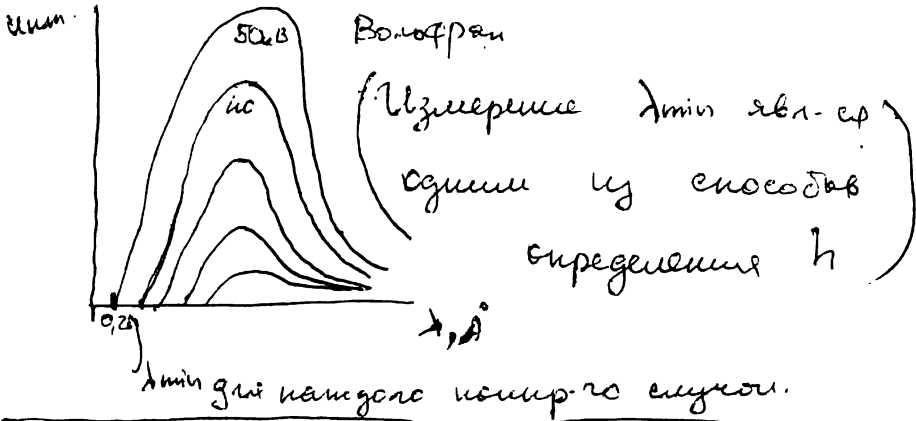
но в \forall случае $\exists \lambda_{min} = \frac{hc}{eV}$,

и при которой при λ вообще нет

коротковолновая граница (λ_{min}),

с которой ~~зависит~~ зависит от V ,

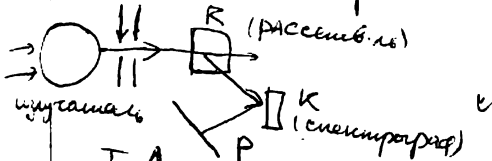
незав-т. от материала



Эффект Комптона

Комптон исследовал рассеяние рентг. волн

на свод. электронах



Экспериментально получ.

$$\lambda' - \lambda_0 = 2 \frac{h}{mc} \sin^2 \frac{\theta}{2}$$

Смещение линий спектра

линов зависит от соотнош. γ св. и свод

электронов в образце.

Открытие Комптона - расширение света квантами. Квант света называется фотоном, энергия фотона $E = h\nu$,

$$\text{импульс } p = \frac{E}{c} = h \frac{\omega}{c} = h k,$$

$$\text{момент импульса } L = \frac{E}{\omega} = h$$

Обозначение эфф-та Комптона:

$$\varepsilon_{\phi} + \varepsilon_0 = \varepsilon_{\phi'} + \varepsilon_e, \quad p_{\phi} = p_{\phi'} + p_e$$

$$\varepsilon_e = \varepsilon_{\phi} - \varepsilon_{\phi'} + \varepsilon_0; \quad p_e = p_{\phi} - p_{\phi'}$$

$$\left(\frac{\varepsilon_e}{c}\right)^2 - p_e^2 = \frac{(\varepsilon_{\phi} - \varepsilon_{\phi'} + \varepsilon_0)^2}{c^2} - (p_{\phi} - p_{\phi'})^2$$

$$? \left(\frac{\varepsilon}{c}\right)^2 - p^2 = \text{Inv} \stackrel{\text{эфф. фот.}}{=} 0$$

$$\Rightarrow \left(\frac{\varepsilon_e}{c}\right)^2 - p_e^2 = \left(\frac{\varepsilon_0}{c}\right)^2, \quad \left(\frac{\varepsilon_{\phi}}{c}\right)^2 = p_{\phi}^2; \quad \left(\frac{\varepsilon_{\phi'}}{c}\right)^2 = p_{\phi'}^2$$

$$\Rightarrow \frac{\varepsilon_0 \varepsilon_{\phi'}}{c^2} + \frac{\varepsilon_{\phi'} \varepsilon_0}{c^2} - \frac{\varepsilon_{\phi} \varepsilon_0}{c^2} - \vec{p}_{\phi} \vec{p}_{\phi'} = 0 \quad \leftarrow$$

$$\Rightarrow 1 - \cos \theta = m_0 c \left(\frac{1}{p_{\phi'}} - \frac{1}{p_{\phi}} \right)$$

$$p_{\phi} = h/\lambda, \quad p_{\phi'} = h/\lambda', \quad \Rightarrow \lambda' - \lambda = \lambda k (1 - \cos \theta) =$$

$$= \frac{h}{m_0 c} \sin^2 \frac{\theta}{2}$$

$\lambda' - \lambda$ не зависит от в.во рассеивающего

тела, а только от угла θ

λk - комптоновская длина волны для e

② Дифракция микрочастиц. Гипотеза Де-Бройля.

Гипотеза Де-Бройля.

Де-Бройль предположил, что частицы обладают волновыми свойствами

Он ввел для частиц ω и k так, чтобы $(\omega/c, k)$ образовали 4-вектор аналогично $(E/c, p)$.

$$E = \hbar \omega;$$

$$p = \hbar k.$$

! Как и E , ω будет определено точкой на произвольной аддитивной шкале.

Волна де Бройля на самом деле

явл. с вероятностью единицы волной

$$\lambda_{\text{деБр}} = \frac{2\pi}{k} = \frac{2\pi\hbar}{p} = \frac{h}{p} \stackrel{p_{\text{нр}} = m\omega c}{=} \frac{h}{m\omega c} = \lambda_{\text{комт.}}$$

$$v_{\text{фаз}} = \frac{\omega}{k} = \frac{E}{p} = \frac{c^2}{v} \geq c, \text{ но это нарушает}$$

$$v_{\text{гр}} = \frac{d\omega}{dk} = \frac{dE}{dp} = \frac{v dp}{dp} = v - групповая$$

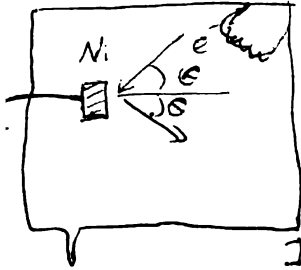
скорость совпадает со скоростью частицы

\Rightarrow частица в теории Де-Бройля

является волновой функцией
 Основание теории де-Бройля -

Дифракция микропотока.

1) «Случайный эксперимент» Дэвиссон, Джеринс



исследовали рассеяние
 электронов, отраженных
 от поверхности никеля
 Получили (1)

Клетку разбили,
 собрали осколки,
 записали,
 получили (2)



Они поняли, что подпадают под дифракцию
 до облета - были поликристаллическим никелем
 После - появился кристаллический
 структура

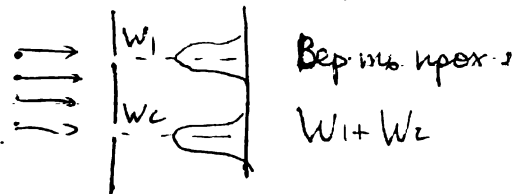
$$2d \sin \theta = m \lambda \quad (\text{учеб. е. макс дифр})$$

2). Опыт Юнга

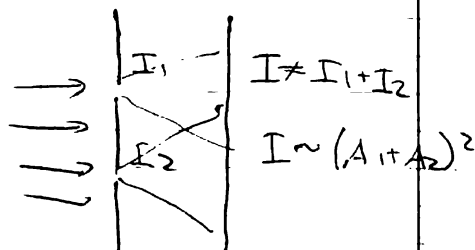


1 из 2 узлы понадают

а) Обычные частицы.



б) Волны



в) Электрон $I \sim (A_1 + A_2)^2$, A - амплитуда

волны де-Бройля.

Малое время эквивалентно ^{коррелируем} ~~касает~~ картин

Большое - интерферс картин.

Если коррелируем - то есть мы интер-ти
пункт, $int \sim$ вероятности электронов.

Если волны - они-ся амплитуды картин
поле в волне $I \sim (A_1 + A_2)^2$

У электронов получаем - обогнали
величину φ , $A = \sqrt{W}$

- ~~то~~ интер-ти на экране $\sim (A_1 + A_2)^2$

③ Состояние неопределенностей.

Корпускулярно-волновой дуализм материи

Корпускулярно-волновой дуализм.

Попробуем они сами частицу
с какой-либо одной точки зр.

1)] частица - волновой ~~пучок~~ пакет.

Но волны де-Бр даже в вак. обл.

дисперсией \Rightarrow $\left(\frac{h\nu}{c}\right)^2 - (hk)^2 = (m_0c)^2$

$\nu_{фаз} = f(\omega) \Rightarrow$ Даже если изначально
волновой пакет и ~~был~~ локализован,
то с течением времени монохромные
волны разных частот, из которых он
состоит, будут расходиться с разницей
 $\nu_{фаз}$, и он развалится \Rightarrow частица
не может быть волновым пакетом,
образованным из волн де-Бройля.

2)] Волновые свойства частиц явл.ся
образованными самим частиц.

Но тогда одна частица не

будет обладать волновыми св.ми -

- Это неверно, т.к. картинное дифр-ии.

где малого кол-ва частиц за

длит. время совпадают с картинными

дифр-ии где большого кол-ва за

короткое - экспериментальный

Факт. - тоже Факт

⇒ Нужно какое-то другое объяснение.

Предположу, чтобы, с одной стороны,

частицы оставались мал. скоростью,

а с др. стороны могли проявлять

волновые св.ва, волнам Де-Бройля

применяют свое существование вероят-

ности как-то частицы в нем

или как месте. → Интенсивности

волны де-Бройля в каком-либо

месте прова пропорциональна

вероятности обнаружить там

частицы.

Но вероятностные св.ва могут

Быть установленными только в отношении
со множественными частицами или с
одной, но во многих случаях.

В квантовой механике такие случаи
называют квантовыми ансамблями, и
считают, что они реализуются путем
заданных каких-то макроскопических
параметров.

Волновые свойства присущи всем
частицам по отдельности, но
обнаружить их можно только
рассматривая сразу много частиц.

Состояние неопределенностей

Гейзенберга

Дело, что такие понятия, как Δx
или Δp , относятся только не в конкретные
точки пространства-времени, а как
характеристики глобальные и в себе,
и во времени процесса

~~Но~~ Если все же волновое образование
 занимает ~~некоторый~~ интервал Δx
 области пространства, то где
 его вообще понаблюдать можно
 волны с различными k , различные
 группы групп velocity, за пределами
 этой области. Длина пакета

Δx , тогда где его вообще комп. и
 волны, волновые числа которых занимают
 интервал Δk , приведем $\Delta x \cdot \Delta k \geq 2\pi$
 (Наоборот - при жест. монохром. волне
 Δk она должна быть длиной Δx)

Введем это соотнош. ϵ

ϵ длину волны $k \in (k_0, k_0 + \Delta k)$

В x фазы волн $\omega : \varphi \in (\varphi(k_0), \varphi(k_0 + \Delta k))$

Если $x \Delta k = 2\pi$, то все волны одной
 имеют группу группа (т.к. совр. ω)

В этой точке разность фаз между k и $k + \Delta k$

$$(k + \Delta k)(x + \Delta x) - k(x + \Delta x) =$$

$$= x \Delta k + \Delta x \Delta k = 2\pi + \Delta x \Delta k$$

Ближайшее решение получится при

$$\Delta x \cdot \Delta k = 2\pi$$

Можно думать и наоборот - расить

все за пределами Δx .

А волновой пакет волн де-Бр.

$$p = \hbar k, \quad p + \Delta p = \hbar(k + \Delta k)$$

$$\Delta x \Delta p = \hbar \Delta k \Delta x = \hbar - \text{принцип}$$

неопр-ти Гейзенберга.

В ден системе

$$\Delta x \Delta p_x = \hbar;$$

$$\Delta y \Delta p_y = \hbar$$

$$\Delta z \Delta p_z = \hbar$$

\Rightarrow в силу волновых св-в системы микромира, мы не можем где-либо точно знать координату или импульс. У микрообъектов нет траекторий.

④ Волновая функция, ее физический смысл и свойства.

Волна де Бройля наз. ея волновой ф-й
Физ. смысл волновой функции - описание
Вероятности нахождения частицы
в определенной точке пространства.

Она не описывает реальных процессов,
происходящих в пр. ве и времени.

В Ψ физ. теории должны быть описаны

1) величины, характеризующие состояние
системы в некоторой точке пр. ве в некото-
рой момент времени.

2) Ур. движения, опис. е ~~состояние~~
состояние системы во времени

3) Физические величины, доступные
измерению, и метод их вычисления
в заданном состоянии системы.

(где экспериментально подтверждено
теории)

В классической механике

1) $x, v = \dot{x}, p = mv$

2) $\dot{p} = F = m\ddot{x}$

3) $x(t)$ (траектория); $p(t)$

Квантовая механика

1) $\Psi(x, y, z, t)$ - комплексная волна вероятности

2) Ур-е Шредингера (перемит), ур-е Дирака (релятив)

3) Из ~~ур-я~~ волновой ф-ции, явл-ся рел-н ур-я Шредингера для данного состояния, мы вычислим некоторые средние значения, которые можно измерить

Физ. смысл Ψ : $|\Psi|^2 = \Psi\Psi^* = \frac{dW}{dt}$

плотность вероятности

Условия на Ψ

1) непрерывность и однозначная определ-ть.

в заданной области пространства.

Физ. смысл- значения не исчезают в интуитив-

и не зависят от времени.

2) Непрерывность производных по времени и координате (и однозначность!)

Физ. смысл - равномерное изменение импульса

3) Нормировка $\int_{\mathbb{R}^3(\Omega)} \Psi \Psi^* dV = 1$ - если

частица сузу-т, то где-то она

может находиться.

Если все эти уел-я выполнены,

то $\int_{\Omega} \Psi f \Psi^* dV = \langle f \rangle$ - ср. значение

функции f в этой области.

⑤ Уравнение Шредингера. Связь с законом дисперсии для волн де Бройля
 соответствующие значения и соот. фии

Для св. частицы $E = \frac{p^2}{2m} = \frac{1}{2m}(p_x^2 + p_y^2 + p_z^2)$;

$\Psi(\vec{r}, t) = A e^{-i(\omega t - \vec{k} \cdot \vec{r})}$ - волна де Бройля

$\frac{\partial \Psi}{\partial t} = -i\omega \Psi$, $\frac{\partial \Psi}{\partial x} = ik_x \Psi$; $\frac{\partial^2 \Psi}{(\partial x)^2} = -k_x^2 \Psi$

$E_{\text{св. частицы}} = \hbar\omega$; $\vec{p} = \hbar\vec{k}$ - по аналогии с волной де Бр.

$\Rightarrow E = \hbar\omega = \frac{\hbar^2}{2m}(k_x^2 + k_y^2 + k_z^2)$ -

дисперсионное соотношение для волн де Бройля для свободной частицы

Выразим все через $\Delta\Psi, \dot{\Psi}$ - получим

ур. Шредингера.

$\hbar\omega = i\hbar\dot{\Psi}$; $\hbar^2 k_x^2 = -\hbar^2 \frac{\partial^2 \Psi}{\partial x^2}$

$\Rightarrow \hbar\omega = \frac{i\hbar}{\Psi} \frac{\partial \Psi}{\partial t} = -\frac{\hbar^2}{2m\Psi} \Delta\Psi = -\frac{\hbar^2}{2m\Psi} \left(\frac{\partial^2 \Psi}{\partial x^2} + \frac{\partial^2 \Psi}{\partial y^2} + \frac{\partial^2 \Psi}{\partial z^2} \right)$

\Rightarrow для свободной частицы из ~~уравнения~~

дисперсионного соотношения для волн

де Бройля получаем уравнение Шредингера

$$\boxed{i\hbar \dot{\Psi} = -\frac{\hbar^2}{2m} \Delta \Psi}$$

Теперь рассмотрим в каноническом поле \mathcal{U}

$$E - \mathcal{U} = \frac{p^2}{2m} \quad E = \hbar\omega; \quad p = \hbar k,$$

$$\Rightarrow \hbar\omega - \mathcal{U} = \frac{p^2}{2m} = \frac{\hbar^2}{2m} (k_x^2 + k_y^2 + k_z^2)$$

$$\boxed{\frac{i\hbar}{\Psi} \dot{\Psi} - \mathcal{U} = -\frac{\hbar^2}{2m} \frac{1}{\Psi} \Delta \Psi} \quad \text{— ур.е Шредингера для частицы в поле.}$$

$$\boxed{i\hbar \dot{\Psi} = \mathcal{U} \Psi - \frac{\hbar^2}{2m} \Delta \Psi} \quad \text{— его каноническая форма}$$

нестационарное ур.е Шредингера.

Теперь $\mathcal{U} = \mathcal{U}(r)$ — стационарное

(не зависящее от t) поле.

Используем для Ψ метод разд-т

пер-й $\Psi(r, t) = \psi(r) \cdot e^{-i \frac{E}{\hbar} t}$

Подставим в нестационарное ур.е, получим:

$$E \psi(r, t) = \mathcal{U} \psi(r, t) - \frac{\hbar^2}{2m} \Delta \psi(r) \cdot e^{-i \frac{E}{\hbar} t}$$

Сопоставим в силу закона сохранения

получим

$$E \psi(r) = \mathcal{U} \psi(r) - \frac{\hbar^2}{2m} \Delta \psi(r)$$

$$(E - \mathcal{U}) \psi(r) = -\frac{\hbar^2}{2m} \Delta \psi(r)$$

$$\boxed{\Delta \psi + \frac{2m}{\hbar^2} (E - \mathcal{U}) \psi = 0} \quad (V) \quad \text{ур.е Шредингера}$$

Т.е. представление ~~пред~~ волн. ф-ции

в общее состояние $\Psi(r)$ в виде $\Psi(r,t) = \Psi(r) \cdot e^{-i\frac{E}{\hbar}t}$

возможно только если E является

~~решением~~ решением ур.е (V)

$$\rightarrow \left[-\frac{\hbar^2}{2m} \nabla^2 + V(r) \right] \Psi(r) = E \Psi(r)$$

т.е. E должно быть собственным
числом, а $\Psi(r)$ - соот. ф. м., соотв. м.
этим соот. м. реш. и для оператора

$$\left[-\frac{\hbar^2}{2m} \nabla^2 + V(r) \right]$$

E будет энергией состояния

Принцип суперпозиции для Ψ

ур.е. трехмерное линейно по Ψ ,

\Rightarrow если Ψ_1, Ψ_2 - решения, то $\Psi_3 = c_1 \Psi_1 + c_2 \Psi_2$

также будет решением

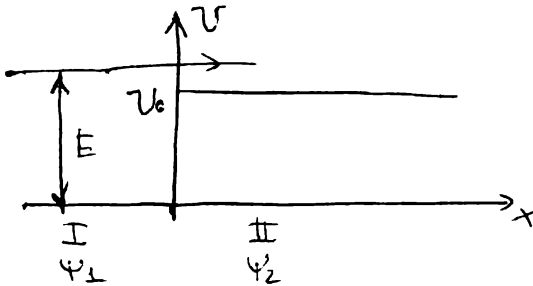
Это обусловлено дифференциальными уравнениями электродинамики

$$\begin{array}{l} \rightarrow | 1 \\ \rightarrow | 2 \end{array} \left\{ \begin{array}{l} \frac{dW_1}{dV} = |\Psi_1|^2 \\ \frac{dW_2}{dV} = |\Psi_2|^2 \end{array} \right. \quad \frac{dW}{dV} = |c_1 \Psi_1 + c_2 \Psi_2|^2$$

Ⓒ) Движение частицы в поле

потенциальной барьера. Коэффициенты отражения и прохождения в изобарическом случае. Коэф-т стр-я от барьера бесконечной толщины

Мы ≠ барьер бесконечной ширины:



2 области $x < 0, V=0; x \geq 0, V=V_0$

В классике: $E > V_0$ - прох. $E < V_0$ - не прох.

В квантовой физике 1) $E > V_0$

$$\frac{d^2 \Psi}{dx^2} + \frac{2m}{\hbar^2} (E - V) \Psi = 0 \quad \Psi = \Psi(x) \text{ (не зависит от } t \text{)}$$

$$\Psi(x, t) = \Psi(x) e^{-i \frac{E}{\hbar} t}$$

⦿ $\Psi(x, t)$ - выпр. вместе с произвольным.

$$\frac{d^2 \Psi_1}{dx^2} + \frac{2m}{\hbar^2} E \Psi = 0 \quad - \text{ в I}$$

$$\frac{d^2 \Psi_2}{dx^2} + \frac{2m}{\hbar^2} (E - V) \Psi = 0 \quad - \text{ в II}$$

$$\frac{1}{2} p = \sqrt{2mE} = \hbar k \Rightarrow \bar{k} = \frac{\sqrt{2mE}}{\hbar}$$

$$I: k_1 = \frac{\sqrt{2mE}}{\hbar} = \frac{2\pi}{\lambda_1}$$

$$II: k_2 = \frac{\sqrt{2m(E-V)}}{\hbar} = \frac{2\pi}{\lambda_2}$$

λ_1, λ_2 - длины волн свободной частицы.

$$\Rightarrow I \quad \frac{d^2 \psi_1}{dx^2} + k_1^2 \psi_1 = 0$$

$$II \quad \frac{d^2 \psi_2}{dx^2} + k_2^2 \psi_2 = 0$$

Частичные решения имеют вид $\psi \sim e^{\pm ikx}$

$$\begin{cases} \psi_1 = A_1 e^{ik_1 x} + B_1 e^{-ik_1 x} \\ \psi_2 = A_2 e^{ik_2 x} + B_2 e^{-ik_2 x} \end{cases} \text{ т.к. барьер бесконечно толстый.}$$

A_1 - волна, прошедшая к барьеру;

B_1 - волна, отражённая от барьера;

A_2 - волна, прошедшая внутрь.

$A_1 = 1$, тогда (нормировка на вл. волны)

$$\begin{cases} \psi_1 = e^{ik_1 x} + B_1 e^{-ik_1 x} \\ \psi_2 = a_2 e^{ik_2 x} \end{cases}$$

Условия непрерывности: $\psi_1(0) = \psi_2(0); \quad \frac{\partial \psi_1}{\partial x}(0) = \frac{\partial \psi_2}{\partial x}(0)$

$$1 + B_1 = a_2, \quad k_1 - B_1 k_1 = a_2 k_2$$

$$\begin{cases} \beta_1 = a_2 - 1 \\ a_2 = \frac{k_1}{k_2} (1 - \beta_1) \end{cases} \quad \beta_1 (1 + \frac{k_1}{k_2}) = \frac{k_1}{k_2} - 1$$

$$\beta_1 = \frac{k_1 - k_2}{k_1 + k_2}$$

$$\begin{cases} \beta_1 = \frac{k_1 - k_2}{k_1 + k_2} \\ a_2 = \frac{2k_1}{k_1 + k_2} \end{cases}$$

Получаем, что коэф-т отраж. от бари. зо

Сарлера равен $R = \beta_1^2 = \left(\frac{k_1 - k_2}{k_1 + k_2} \right)^2 = \frac{v_1 \beta_1^2}{v_1^2}$

коэф-т прех. $D = \frac{I_{\text{прех}}}{I_{\text{ин}}}} = \frac{v_2 a_2^2}{v_1 a_1^2} = \frac{k_2}{k_1} a_2^2 =$

$$= \frac{4k_1 k_2}{(k_1 + k_2)^2}$$

$$\boxed{R = \left(\frac{k_1 - k_2}{k_1 + k_2} \right)^2; D = \frac{4k_1 k_2}{(k_1 + k_2)^2}; R + D = 1}$$

2) if $E = v_0$ $k_2 = 0$, $R = 1$

3) if $E < v_0$

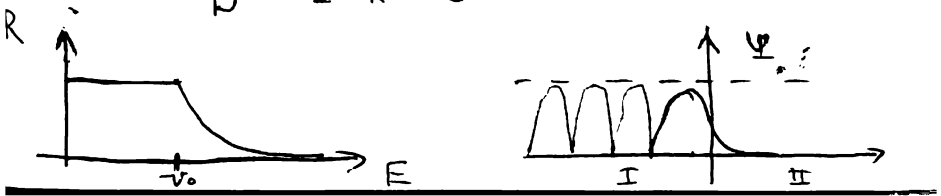
$$k_2 = \frac{i \sqrt{2m(v_0 - E)}}{\hbar} = iK$$

$$\Psi_2 = a_2 e^{+ik_2 x} = a_2 e^{-Kx} - \text{нем колеб. } \bar{u},$$

так как нем x

Опр: $R = \left(\frac{k_1 - k_2}{k_1 + k_2} \right)^2 = \left(\frac{k_1 - iK}{k_1 + iK} \right)^2 = 1$

$$D = 1 - R = 0$$



Разберемся с D и Ψ_2 . Тут сразу анализ i .
ПВО

$$\Delta P_x \Delta x \geq \hbar$$

$$D = \frac{\hbar^2 k^2}{(k_1 + ik)^2} \quad V_0 \rightarrow \infty \quad k \rightarrow \infty \quad D \rightarrow 0$$

$$\Psi_2 = a_2 e^{-ikx} \rightarrow 0 \quad \text{при } \infty \text{ нем.}$$

Барьер препятствует волне не будет.

* Рассмотрим в $[0; \Delta x]$

$$\Rightarrow \Delta P_x = \frac{\hbar}{\Delta x}$$

$$\Rightarrow \Delta E = \frac{\Delta P_x^2}{2m} = \frac{\hbar^2}{2m \Delta x^2}$$

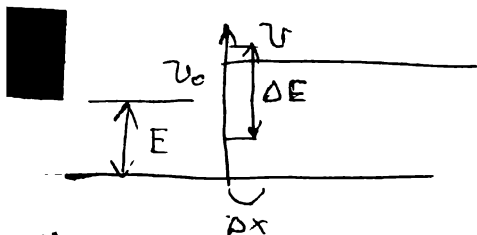
$$|\Psi_2|^2 = a_2^2 e^{-2kx} = \frac{dW}{dV} \quad \text{плотность вероятности}$$

Обратимости рассуждения справа.

$$\lceil 2k \Delta x \approx 1$$

$$\Delta x \approx \frac{1}{2k} = \frac{\hbar}{2} \frac{1}{\sqrt{2m(V_0 - E)}}$$

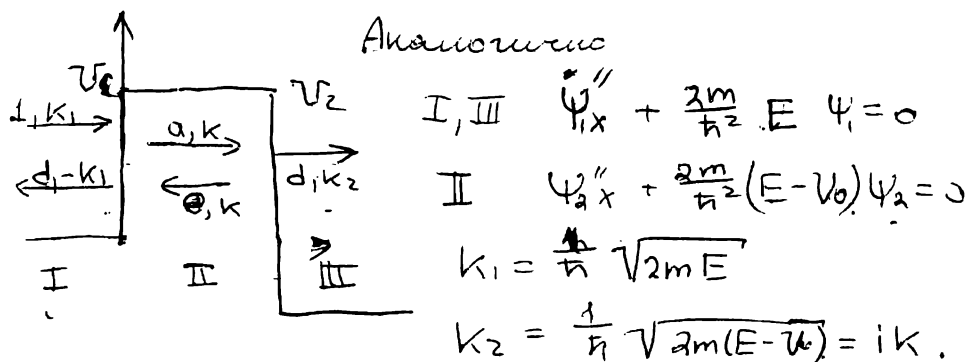
$$\Delta E \geq \frac{\hbar^2}{(2k)^2} = \frac{\hbar^2 4m(V_0 - E)}{2m \hbar^2} = 4(V_0 - E)$$



⊙ То есть если мы предположим, что волна нигде прошла, что абсолютно точно, то тогда граница по энергии?

⑦ Туннельный эффект. Коэффициент прохождения

Туннельный эффект - прохождение частицы с энергией ~~с энергией~~ через барьер конечной толщины, высота которого больше, чем энергия частицы



Можно рассчитать гр. и гр. ψ, ψ' и найти d, a, β, d , можно проше.

и левую границу барьера. Примем ее

за начало координат. К ней подходит 2 волны $(1, k_1)$ и $(\beta, -k)$

в результате должны получиться

$(\nu, -k_1)$ в первой обл и (α, k) во II

$$\Rightarrow v = v_1 + d_1' \theta; \quad a = d_1 + v_1' \theta \quad (1) \quad \begin{matrix} v_1 - \text{коэф. отраж.} \\ d_1 - \text{коэф. преломл.} \end{matrix}$$

На границе раздела $x^2 = x^1 + e$

\Rightarrow • Вектор, с которым мы имеем дело

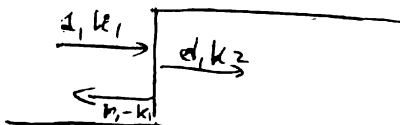
$$a e^{ikx}; \quad \theta e^{-ikx}; \quad d e^{ik_2 x}$$

$$\rightarrow (a e^{ike}) e^{ikx'}; \quad (\theta e^{-ike}) e^{-ikx'}; \quad (d e^{ik_2 e}) e^{ik_2 x'}$$

$$\Rightarrow d e^{ik_2 e} = d_2 a e^{ike} \quad (2)$$

$$\theta e^{-ike} = r_2 a e^{ike}$$

По формулам 1, 2 не можем найти r и d по аналогии с случ. преломления:



$$\left\{ \begin{array}{l} v = v_1 + d_1' \theta \\ a = d_1 + v_1' \theta \\ d e^{ik_2 e} = d_2 a e^{ike} \\ \theta e^{-ike} = r_2 a e^{ike} \\ v_1' = -v_1 \\ v_1^2 + d_1 d_1' = 1 \end{array} \right.$$

$$r = \frac{v_1 + v_2 e^{2ike}}{1 + v_1 v_2 e^{2ike}}; \quad d = \frac{d_1 d_2 e^{-i(k_2 - k)e}}{1 + v_1 v_2 e^{2ike}}$$

$$\rightarrow] k_1 = \frac{1}{\hbar} \sqrt{2m(E-U)} ; k_2 = \frac{1}{\hbar} \sqrt{2m(E-U_2)}$$

$$k=id; d = \frac{1}{\hbar} \sqrt{2m(U-E)}$$

$$r_1 = \frac{k_1 - k}{k_1 + k} = \frac{k_1 - id}{k_1 + id}; r_2 = \frac{k - k_2}{k + k_2} = \frac{id - k_2}{id + k_2}$$

$$d_1 = \frac{2k_1}{k_1 + k} = \frac{2k_1}{k_1 + id}; d_2 = \frac{2k}{k + k_2} = \frac{2id}{k_2 + id}$$

$$D = \frac{k_2}{k_1} |d|^2 = \frac{k_2}{k_1} d d^*$$

$$D = \frac{16 k_1 k_2 d^2}{(k_1^2 + d^2)(k_2^2 + d^2)(e^{2\alpha l} + e^{-2\alpha l}) + 2(d^2 - k_1 k_2)}$$

Пренебрежем $e^{-2\alpha l}$ в знаменателе,

пренебрежем слагаемым $2(d^2 - k_1 k_2)$,

Получаем

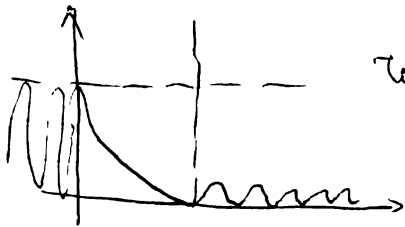
$$D = D_0 e^{-2\alpha l} = D_0 \exp\left[-2\frac{l}{\hbar} \sqrt{2m(U-E)}\right]$$

$$D_0 \sim 1$$

? Можно рассмотреть барьер на пределе

Ферми, разделив его на «смысловую»

$$D = D_0 \exp\left[-\int_{x_1}^{x_2} \frac{2}{\hbar} \sqrt{2m(U-E)} dx\right]$$



тем меньше толщина барьера

и разность $(U-E)$, тем

выше коэф-т прощ-ти.

Коэф-т прощ-ти резко уменьшается

при увеличении массы частицы

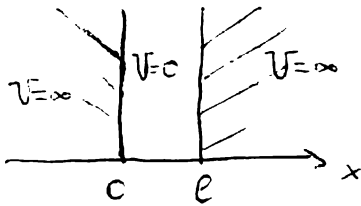
явление туннельного эффекта

используется в квантовой

эmission и туннельном микроскопе.

8) Квадратное эрмита. Частица в потенциальной яме с бесконечными стенками. Характер энергетического спектра. Линейного гармонического осциллятора

Частица в потенциальной яме с бесконечными стенками.



$x \in (-\infty, 0] \cup [l, +\infty)$ - нет частицы

$x \in [0, l]$ - есть частица

Область, где частица есть:

$$\frac{d^2 \Psi}{dx^2} + \frac{2mE}{\hbar^2} \Psi = 0 \quad k = \frac{1}{\hbar} \sqrt{2mE}; \quad \Psi(0) = \Psi(l) = 0$$

Возьмем в качестве $\Psi(x) = a \sin(kx + \alpha)$ -

обобщенное решение ур.д. Применим гр.усл:

Т.к $\Psi(0) = 0 \Rightarrow a \sin(\alpha) = 0 \Rightarrow \alpha = 0$

$$\Psi(x) = a \sin(kx)$$

Т.к $\Psi(l) = 0 \Rightarrow a \sin(kl) = 0 \Rightarrow kl = \pm n\pi$

($kl \neq 0$, т.к иначе это неинтересное тривиальное решение)

$$\Rightarrow \psi = a \sin \left(\frac{\pi n}{l} x \right)$$

Получаем, что $k^2 = \frac{\pi n}{l} = \frac{\sqrt{2mE}}{\hbar}$

$$\Rightarrow E = \frac{\pi^2 \hbar^2}{2me^2} n^2 \quad n=1, 2, \dots$$

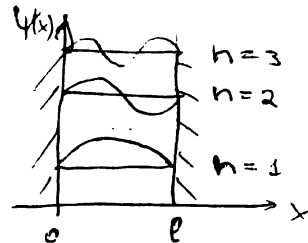
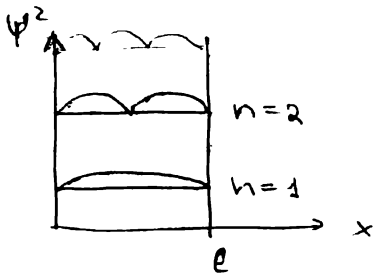
Т.к. n пробегает дискретный ряд значений, то E имеет дискретный ряд значений

Найдем a из условия нормировки.

$$\int_0^l \psi^2 dx = 1 = a^2 \int_0^l \sin^2 \frac{\pi n x}{l} dx = a^2 \frac{l}{2}$$

$$\Rightarrow a = \sqrt{\frac{2}{l}}$$

$$\psi = \sqrt{\frac{2}{l}} \sin \left(\frac{\pi n}{l} x \right)$$



! В рамках задачи

$l \rightarrow \infty$ конт-й

иной частица не может находиться

в точке $l/2$ на втором уровне энергии

Оценим плотность спектра

$$l = 1 \text{ см}; \quad m = 10^{-27} \text{ г}, \quad \hbar = 10^{-27} \text{ эрг} \cdot \text{с} \Rightarrow$$

$$E = n^2 \cdot 5 \cdot 10^{-27} \text{ эрг}, \quad \Delta E_n = 6 \cdot 10^{-5} n \text{ (эВ)}$$

В атоме $e \sim 10^{-7}$ см. $\Rightarrow E_n \approx 0,34 \cdot h^2 \Delta B$.

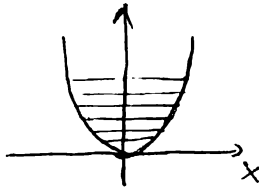
В атомах конечной глубины потенциал
разрешается, но оно затухает $\sim e^{-\alpha x}$

ХАРАКТЕР энергетического спектра

линейного гармонического осциллятора

$$U = \frac{kx^2}{2}$$

Энергетический
спектр растет



Уравнение

кратен основанию: $\omega = \sqrt{\frac{k}{m}}$

$$V = \frac{m\omega^2 x^2}{2}$$

$$\cdot \frac{d^2 \psi}{dx^2} + \frac{2m}{\hbar^2} \left(E - \frac{m\omega^2 x^2}{2} \right) \psi = 0$$

$$E_n = \left(n + \frac{1}{2} \right) \hbar \omega$$

9) Контактная разность потенциалов.

Автоэлектронная эмиссия

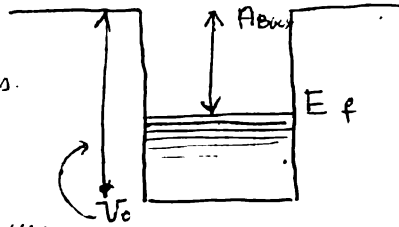
Контактная разность потенциалов.

✗ для окис. э. элементов в Me

след. модели

Уровни с нулевого по ур.

Ферми (уровень с энергией E_f) закончен.

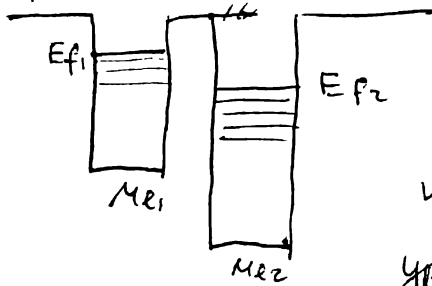


✗ (по 2 разности потенциалов). Число выходящих

электронов из Me, можно совершить работу

$$A = U_0 - E_f.$$

✗ 2 соединившихся металла с разными уровнями Ферми. ($E_{f1} > E_{f2}$).



Электроны переходят

из Me_1 в Me_2

на более низкий энерг.

уровень.

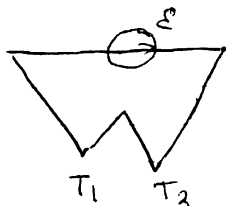
$I_{кпр} = A_{в1} - A_{в2}$ - закон тока электронов

из Me_1 в Me_2 . В результате КТР возникает

? КПД = $f(T)$, т.е. полезный уровень

Фермии зависит от T

Для одинаковых материалов

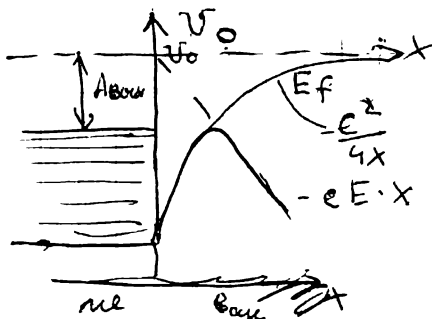


$$T_1 = T_2 \quad \epsilon = 0$$

$$T_1 \neq T_2 \quad \epsilon \neq 0$$

Термопара

2) Автоэлектрическая эмиссия.



1) Применим эл.б. материал

$$F = \frac{e^2}{4x^2} = -\frac{dU}{dx}$$

$$E_1 = \int \frac{e^2}{4x^2} dx = -\frac{e^2}{4x}$$

Сила F возникает

из-за притяжения электронов



вирт. положит. и зарядов, появляющихся на его месте

2) Если приложить поле, то на внешнем

электрон будет действовать сила $-eE$, а эффект этого взаимодействия $-eEx$

$$\text{В итоге } U = U_0 - eEx - \frac{e^2}{4x}$$

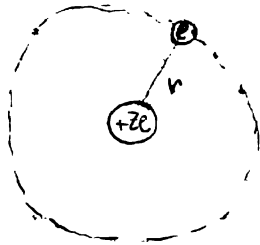
$$\text{max } U(x_0): \frac{dU}{dx} = 0 = x_0 = \sqrt{\frac{e}{4E}}$$

$U(x_0) = U_0 - \sqrt{eE^3}$ - кем АЭЭ. Убавляет
новый барьер ниже и волновые через него

10) Нормальное состояние водородоподобного атома По классической теории Бора.

~~Решение~~ Обобщенная формула Бальмера.

Мы будем \neq из сферически симметричной атома, состоящий из ядра и одного e^-



Полуклассическая теория
Бора

1) Атомы могут длительно время

находиться в стационарных состояниях, в

этих состояниях они не излучают,

2) При переходе из одного состояния в другое

атом излучает или поглощает свет, энергию
(тогда состояние = стационарные); которого

$$h\nu = E_m - E_n$$

Условие существования орбит: $h\nu$ стационар.

орбитах момент импульса электрона

кратен h : $mvr = nh$ где n стационарные Борн

Вспомогательные де-Бройли.

$$\lambda_g = \frac{2\pi}{k} = \frac{2\pi h}{p} = \frac{2\pi h}{mv}, \quad mv = \frac{h}{\lambda}$$

$$\Rightarrow mvr = \frac{2\pi \hbar}{\lambda} \cdot r$$

$$\Rightarrow \hbar h = \frac{2\pi \hbar}{\lambda} r,$$

$\Rightarrow \boxed{2\pi r = n \lambda}$ - на стац. орбите уклад-е
целик криво волн де-Броуи

Найдем радиус первой радиус орбиты.

$$\frac{mv^2}{r} = \frac{ze^2}{r^2} \Rightarrow r = \frac{ze^2}{mv^2}, \quad m^2 v^2 = \frac{\hbar^2 k^2}{r^2} \text{ (по Борю)}$$

$$r = \frac{mze^2}{\hbar^2 k^2} r^2 \Rightarrow \boxed{r = \frac{\hbar^2 k^2}{mze^2}}$$

Найдем теперь энергию электрона,
находящегося на ~~первой~~ стационарной
орбите.

$$E = E_{\text{пот}} + E_{\text{кин}} = -\frac{ze^2}{r} + \frac{mv^2}{2} = -\frac{ze^2}{r} + \frac{ze^2}{2r} = -\frac{ze^2}{2r}$$

$$\boxed{E = -\frac{z^2 e^4 m}{2\hbar^2 k^2}} \text{ энергия атома на}$$

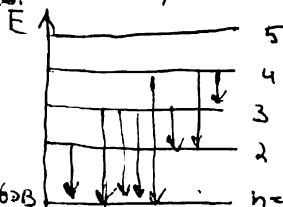
стац. орбите.

Найдем частоту изм-е при переходе с E_1 на E_2

$$\hbar \omega = E_1 - E_2 = -\frac{z^2 e^4 m}{2\hbar^2} \left(\frac{1}{n_1^2} - \frac{1}{n_2^2} \right) = \frac{hc}{\lambda} \Rightarrow$$

$$\frac{1}{\lambda} = \frac{z^2 e^4 m}{4\pi \hbar^3 c} \left(\frac{1}{n_2^2} - \frac{1}{n_1^2} \right) = R_{\infty} \left(\frac{1}{n_2^2} - \frac{1}{n_1^2} \right) - \text{Формула Бальмера}$$

$$R_{\infty} = 109737,303 \text{ см}^{-1}, \quad R_{\text{кин}} = (109737,309 \pm 0,012) \text{ см}^{-1}$$



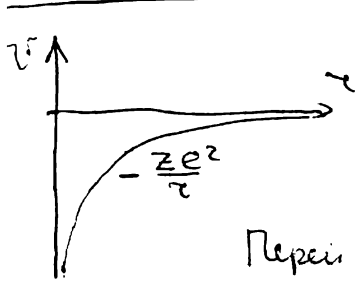
R - постоянная Ридберга

$$R_{\text{кин}} = \frac{R_{\infty}}{1 + m/m_1}, \quad R_{\infty} - M \rightarrow \infty$$

- В, 628

$n=1$ серия Лаймана - ультрафиолет

11) Уравнение Шредингера для нормального состояния водородоподобного атома, его энергии и распределение электронной плотности



Ур е Шредингера:

$$\Delta \psi + \frac{2m}{\hbar^2} (E - V) \psi = 0$$

$$\Delta \psi + \frac{2m}{\hbar^2} \left(E + \frac{ze^2}{r} \right) \psi = 0$$

Перейдем в сферич. систему:

$$\Delta = \frac{1}{r^2} \frac{\partial}{\partial r} \left(r^2 \frac{\partial}{\partial r} \right) + \frac{1}{r^2 \sin \theta} \frac{\partial}{\partial \theta} \left(\sin \theta \frac{\partial}{\partial \theta} \right) + \frac{1}{r^2 \sin^2 \theta} \frac{\partial^2}{\partial \varphi^2}$$

$$dV = r^2 dr \sin \theta d\theta d\varphi$$

$$r \in (0, \infty), \varphi \in [0, 2\pi), \theta \in [0, \pi]$$

Возьмем нормальное состояние водородоподобного атома ($l=1$), тогда $\psi = \psi(r)$, т.к. у нормального сост. нет угловых кривые орбитали

$$\frac{1}{r^2} \frac{\partial}{\partial r} \left(r^2 \frac{\partial}{\partial r} \psi(r) \right) + \frac{2m}{\hbar^2} \left(E + \frac{ze^2}{r} \right) \psi = 0$$

$$\frac{1}{r^2} \left(2r \frac{\partial}{\partial r} \psi(r) + r^2 \frac{\partial^2}{\partial r^2} \psi(r) \right) + \frac{2m}{\hbar^2} \left(E + \frac{ze^2}{r} \right) \psi = 0$$

$$\frac{d^2 \psi}{dr^2} + \frac{2}{r} \frac{d}{dr} \psi(r) + \frac{2m}{\hbar^2} \left(E + \frac{ze^2}{r} \right) \psi = 0$$

$$\frac{d^2\psi}{dr^2} + \frac{2}{r} \frac{d\psi}{dr} + \left(j + \frac{2\alpha}{r} \right) \psi = 0$$

$$\psi = A e^{-\epsilon r}: \quad \epsilon^2 - \frac{2\epsilon}{r} + j + \frac{2\alpha}{r} = 0, \quad j = \frac{2mE}{\hbar^2}$$

$$\Rightarrow \epsilon^2 = -j, \quad \epsilon = \alpha \quad \alpha = \frac{mZe^2}{\hbar^2}$$

$$\Rightarrow -j = \alpha^2 \quad \frac{2m}{\hbar^2} E = - \frac{m^2 Z^2 e^4}{\hbar^4} \cdot 1$$

$$\Rightarrow E = \frac{m Z^2 e^4}{2 \hbar^2} - \text{константа вынес}$$

Формулы для энергии,
числа к.у. бора

Распределение электронной плотности

Найдем бер на макс. электронной в объеме dV

$$\frac{dW}{dV} = \psi^2 = A^2 e^{-2\epsilon r} = A^2 e^{-2\alpha r}$$

$$\Rightarrow dW = \psi^2 dV = A^2 e^{-2\alpha r} r^2 \sin\theta d\theta d\varphi dr$$

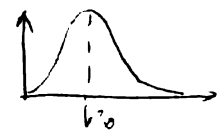
Вероятность макс. электронной в интервале

$$r; r+dr \quad p(r) = A^2 e^{-2\alpha r} \int_0^\pi \sin\theta d\theta \int_0^{2\pi} d\varphi = \underline{A^2 e^{-2\alpha r} \cdot 4\pi r^2 dr}$$

Найдем максимум $p(r)$:

$$p'(r) = 0 = -A^2 2\alpha e^{-2\alpha r} \cdot 4\pi r^2 dr + 2r A^2 e^{-2\alpha r} 4\pi dr$$

$$2r - 2\alpha r^2 = 0 \quad r_0 = \frac{1}{\alpha} = \frac{\hbar^2}{mZe^2}$$



Все числа одинаковы

$$c \text{ бора: } r = \frac{\hbar^2 n^2}{mZe^2} = \frac{\hbar^2}{mZe^2} \quad n=1$$

! Ошибочное понимание Максвелла и Бора в том, что по Бору мы утверждаем, что электроны существуют только на этих расстояниях от ядра при $n=1$, а по Максвеллу это на таком расстоянии наибольшая вероятность его обнаружения

Найдём A

$$\int_0^{\infty} \psi^2 dV = 1 = \int_0^{\infty} A^2 e^{-2r/a_0} r^2 dr \cdot 4\pi \Rightarrow$$

$$\Rightarrow A = \frac{1}{\sqrt{\pi a_0^3}}$$

Теперь через ψ можно найти средние значения

$$\langle r \rangle = \int_0^{\infty} r \psi^2 dr = \frac{3}{2} a_0$$

12) Движение в кулоновском поле (однородный случай). Уравнение для угловой и радиальной составляющих волновой функции. Пространственное квантование.

* Сферич., не сф. симметричной случай: движение электрона в пот. и поле сфер.

$$\Delta \Psi + \frac{2m}{\hbar} \left(E + \frac{e^2 z}{r} \right) \Psi = 0$$

$$\Psi = R(r) \cdot Y(\varphi, \theta)$$

$$\Delta(R(r) \cdot Y(\varphi, \theta)) + \frac{2m}{\hbar} \left(E + \frac{e^2 z}{r} \right) R \cdot Y = 0$$

$$\frac{Y}{r^2} \frac{d}{dr} \left(r^2 \frac{dR}{dr} \right) + \frac{R}{r^2 \sin \theta} \frac{\partial}{\partial \theta} \left(\sin \theta \frac{\partial Y}{\partial \theta} \right) + \frac{R}{r^2 \sin^2 \theta} \frac{\partial^2 Y}{\partial \varphi^2} +$$

$$+ \frac{2m}{\hbar} \left(E + \frac{e^2 z}{r} \right) Y R = 0 \quad | \cdot \frac{r^2}{R Y}$$

$$\frac{1}{R} \left\{ \frac{d}{dr} \left(r^2 \frac{dR}{dr} \right) + \frac{2m}{\hbar} \left(E r^2 + e^2 z r \right) \right\} =$$

$$= \frac{1}{Y} \left(\frac{1}{\sin \theta} \frac{\partial}{\partial \theta} \left(\sin \theta \frac{\partial Y}{\partial \theta} \right) + \frac{1}{\sin^2 \theta} \frac{\partial^2 Y}{\partial \varphi^2} \right)$$

Правая часть зависит только от r , левая - только от $\theta, \varphi \Rightarrow$ они обе равны $\beta = \text{const}$

$$\text{т.е.}: \frac{1}{\sin \theta} \frac{\partial}{\partial \theta} \left(\sin \theta \frac{\partial Y}{\partial \theta} \right) + \frac{1}{\sin^2 \theta} \frac{\partial^2 Y}{\partial \varphi^2} = -\beta Y$$

зр. - Лемангра

$$\mathcal{L} Y = \beta Y \rightarrow \beta - \text{соб. значения зр.}$$

Лендингра, $\beta = \ell(\ell+1)$

у-сод ф-ии упр. Лендингра, $\psi = \Theta_{\ell m} e^{im\varphi}$

ℓ -орбитальное квантовое число,

m -магнитное квантовое число.

$$\ell = 0, 1, \dots, n-2, n-1 \quad m = \pm \ell, \pm(\ell-1), \dots, 0$$

* упр-е грав:

$$\frac{\partial^2 R}{\partial r^2} + \frac{2}{r} \frac{\partial R}{\partial r} + \frac{2m}{\hbar^2} \left(E + \frac{e^2 z}{r} \right) R = R \frac{\ell(\ell+1)}{r^2}$$

$$R'' + \frac{2}{r} R' + \frac{2m}{\hbar^2} \left(E + \frac{e^2 z}{r} - \frac{\ell(\ell+1)\hbar^2}{2mr^2} \right) R = 0$$

Подставим упр-е Шредингера с новыми

поменниками:
$$\psi^* = -\frac{e^2 z}{r} + \frac{\ell(\ell+1)\hbar^2}{2mr^2}$$

В механике тонкой ~~поменниками~~ ^{энергии}

сбалажем враще и движение

$$E_{\text{оп}} = \frac{L^2}{2I} = \frac{L^2}{2mr^2}, \quad L - \text{момент импульса} \Rightarrow$$

$$L = \sqrt{\ell(\ell+1)} \cdot \hbar$$

$$\int R = A e^{-\beta R}$$

$$\beta^2 + \frac{2}{r} \beta + \frac{2m}{\hbar^2} E + \frac{2me^2 z}{\hbar^2 r} - \frac{\ell(\ell+1)\hbar^2}{2mr^2} = 0$$

$$\Rightarrow E = \frac{1}{2} \frac{me^4 z^2}{\hbar^2} \quad n=1 \quad \ell=0 \quad ? \quad \downarrow$$

\Rightarrow где ~~снова~~ $n=1$ все отнюдь
собственно с бором

Про странственность квантование

Вспомогательный парадокс прецесса:

$\mu_{орб} = g \bar{L} = \frac{e}{2mc} \bar{L}$ - орбитальный магнитный момент
 $L_z \uparrow \left[\begin{array}{l} \uparrow \mu \\ \uparrow L \end{array} \right]$

$$U = -(\vec{\mu} \cdot \vec{B}) = -\mu B \cos \theta = -g L B \cos \theta = -g B L_z$$

$$= -g B L_z$$

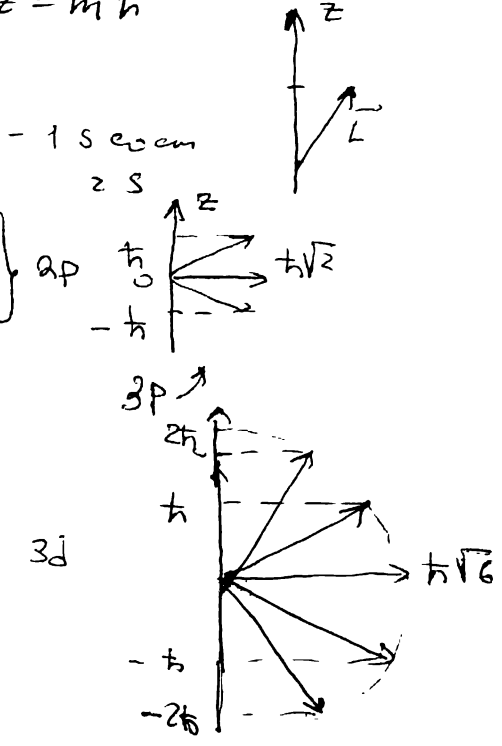
Прецессия в классике - угловое с сохранением $|\vec{L}|$ и L_z

В квантовой физике мы получаем что

1) Длина L дискретна (квантование квантовое)

$$L = \hbar \sqrt{l(l+1)}, \quad L_z = m \hbar$$

l	m	L	L_z	m
1	0	0	0	0
	1	$\hbar \sqrt{2}$	\hbar	1
	-1	$\hbar \sqrt{2}$	$-\hbar$	-1
2	0	0	0	0
	1	$\hbar \sqrt{6}$	\hbar	1
	2	$\hbar \sqrt{6}$	$2\hbar$	2
3	0	0	0	0
	1	$\hbar \sqrt{12}$	\hbar	1
	2	$\hbar \sqrt{12}$	$2\hbar$	2
4	0	0	0	0
	1	$\hbar \sqrt{20}$	\hbar	1
	2	$\hbar \sqrt{20}$	$2\hbar$	2
5	0	0	0	0
	1	$\hbar \sqrt{30}$	\hbar	1
	2	$\hbar \sqrt{30}$	$2\hbar$	2



- 1 s e e e m
2 s

2D

3D

Проекция L_x, L_y не определены,
поэтому для них нет к.в. функции
В классе $\langle L_x \rangle, \langle L_y \rangle = 0$

Вместо

1) $|L_z|$ квантован

2) Проекция L_z может
принимать только
- определенные значения

(13) Опыт Штерна и Герлаха. Спин.

Опыт Эйнштейна - де Хаза. Спин-орбитальное взаимодействие.

Опыт Штерна и Герлаха

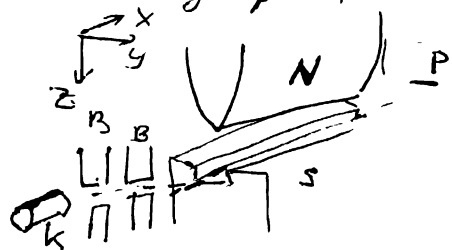
Опыт доказал наличие у атомов магнитных моментов.

Опыт: в сосуде с высоким вакуумом создавалась с помощью диафрагмы В и В' резко суженный атомный пучок исследуемого элемента, испаряющегося в печи К. Пучок проходил через сильное магнитное поле H между полюсными коническими N и S электромагнитами. Зависит форма пучка от того, как поворачивалось сильное магнитное поле.

1) С т. зр. классической электродинамики:

$$f = (m \nabla) H$$

$$f_z = \mu_x \frac{\partial H_x}{\partial x} + \mu_y \frac{\partial H_y}{\partial y} + \mu_z \frac{\partial H_z}{\partial z}$$



Атом совершает прецессию ^{вокруг} z-оси
z, вращаясь с частотой $\Omega = -\frac{e\hbar}{\hbar}$

Для дост. больших $\hbar \rightarrow f_z$

можно усреднять по времени, причем

$$\langle f_x \rangle, \langle f_y \rangle = 0, \quad \langle f_z \rangle = m_z \frac{\partial \psi_z}{\partial z}$$

Эта формула может быть

получена и из квантовых соображ.

Определенное значение y момента

импульса атома имеет только

составляющая $\hbar_z \Rightarrow M = gL$

имеет стр. в. по отношению к z,

M_x, M_y - нек-во $\Rightarrow \langle M_x \rangle, \langle M_y \rangle = 0$

$$\Rightarrow \langle f_z \rangle = m_z \frac{\partial \psi_z}{\partial z}$$

В итоге, т.к. L_z определяется

~~определенными~~ ^{магнитными} квантовыми числами

атома $\& m = 0, \pm 1 \Rightarrow$ при

расщеплении (квантовании) f_z

должны получаться дискретные

полюсы в количестве $2l+1$ штук

- целое число.

В опытах Штерна и Герлаха получались
получились 2 ~~два~~ составляющих
для A_z ; H ; для других тоже
получались разные кол-ва
полюса \Rightarrow противоречие теории.

После этого добавились результаты
опытов Эйнштейна и де Гааза и
опытов Баркетта по сп-во циркулярного
дип. э. (Эйнштейн и де Гааз - установление
связи между L и μ : рассматривали
цилиндр из железа, помещенный в
магнитное поле. \approx μ -за намагничен-
ости пошлом вращаться. Баркетт - при 4В
вращении намагниченные тела намагнич.ся)

В результате всех этих exper. в
было получено $g \in \left[\frac{e}{2mc} \cdot \frac{e}{mc} \right]$, при этом
для ферро магнетиков оно всегда было
именно $\frac{e}{mc}$ - в 2 раза больше теоретич!

В опытах Штерна и Герлаха элемент в
атомах водорода

находимся в S состоянии -
не обладаем орбитальным и спиновым
моментами, ~~то~~ где их было
расщепление на 2 линии \Rightarrow

Расщепление обусловлено не
орбитальными моментами электронов,
а какими-то собственными -
спиновыми (для серебра все
это можно верно, т.к. там
только 1 электрон на внешней
оболочке).

Спин электрона - квантово-релятивистский
эффект, не имеющий классического
аналога.

Спин электрона S равен $S = \frac{1}{2}$

(Максимальное значение проекции S_z
равно S , тогда число всех проекций
равно $2S + 1 = 2$ (2 из которых - интерна)
 $= S = \frac{1}{2}$)

Спин-орбитальное взаимодействие.

- взаимодействие, обусловленное "s"

спином электрона и зарядом

ядра.

$s = \frac{1}{2} \hbar$

Для атома водорода: электрон вращается

по круговой орбите вокруг ядра, т.е.

в с.о. электрона ядро вращается вокруг

электрона и создает магнитное поле

H , воздействующее на спиновый

момент m_s электрона. Т.к. заряды:

e и p $-e = p$, то движ. с ядро создает

то же магн. поле, что движ. с электрон.

⇒ спин-орбитальное взаимодействие -

сферично рассматривать как в.е между

спиновым и орбитальным магн.

моментами электрона.

Спиновый момент электрона \uparrow может

ориентироваться или по орб. магн. полю, или

против; в первом случае пом. \uparrow

энергии влч. ядро-электрон увелич.

Во втором упоминается. Поэтому из-за
 спин-орбитального взаимодействия
 каждой энергетической уровень атома
 расщепляется на 2 подуровня. ~~Из~~ Изначально
 - атом в s-состоянии. Расщепление
 энергетического уровня из-за тонкой
 структуры уровня, совокупно есть
 подуровней из-за мультиплетности.

В случае атома с одним валентным
 электроном спин-орбит. в-е приводит
 к тому, что все энергетич. уровни, кроме
 s, становятся дублетными.

Величина ΔE зависит от орб. в-е $\vec{L} \cdot \vec{S}$:

$$H = e[V \cdot \vec{v}] / c r^3 \approx; |A| = \frac{dE}{v^2}, \alpha = \frac{v}{c}; \alpha = \frac{eZ}{hc}$$

У электрона $E_k = -\mu_B H$; $|\mu_B H| = \frac{e\hbar}{2mc} -$ магнетон

Бора. По порядку энергии ΔE_k совп. с

ΔE зависит от массы и скорости.

14) Принцип Паули. Обменное взаимодействие

1) Принцип тождественности.

В системе одинаковых частиц реализуются только такие состояния,

которые не меняются при перестановке местами двух ~~двух~~ частиц

В классике мы могли следовать

за тем, как частицы не являются местами следуют за переходами из состояния 1 в состояние 2.

В квантовой механике все не так.

$$\begin{array}{ccc} \textcircled{1} & \textcircled{2} & \\ \nearrow r_1 & \nwarrow r_2 & \\ \Psi(r_1, r_2) = \vec{\Psi} & & \Psi(r_2, r_1) = \\ = \Psi_{12} & & = \Psi_{21} \end{array}$$

\hat{P} оператор перестановки \hat{P} .

$$\left. \begin{array}{l} \hat{P} \Psi_{12} = a \Psi_{12} = \Psi_{21}; \\ \hat{P} (\Psi_{21}) = a^2 \Psi_{12} = \Psi_{12} \end{array} \right\} \Rightarrow a = \pm 1$$

$\Rightarrow \Psi_{12} = \pm \Psi_{21}$ (+ состояние симметричное Ψ ,
- - антисимметричное)

Для невзаимодействующих частиц

$$\Psi_{12} = \Psi_1(1) \cdot \Psi_2(2), \text{ мы можем записать}$$

это так, так как вер-ти перем. с.

$$\Psi_{12} \pm \Psi_1(2) \Psi_2(1)$$

$$\Psi_S(1,2) = \frac{1}{\sqrt{2}} \{ \varphi_1(1) \varphi_2(2) + \varphi_2(2) \varphi_1(1) \}$$

$$\Psi_{as}(1,2) = \frac{1}{\sqrt{2}} \{ \varphi_1(1) \varphi_2(2) - \varphi_2(2) \varphi_1(1) \}$$

- симметричная и антисимметричная
волновые ф-ции.

Принцип Паули для фермионов

В природе встречаются только состояния
описываемые антисимметричной
волновой функцией.

Из этого следует, что в одном
состоянии не может най-ся
2х эл. в с одинаковым набором.

квантовых чисел: $\Psi_{as}(1,2) = 0$,

~~если $\varphi_1 \equiv \varphi_2$, но $\varphi = R_{n,l,m} e^{im\varphi} \Rightarrow$
если $n_1 = n_2, l_1 = l_2, m_1 = m_2$, то $\varphi_1 \equiv \varphi_2$
и $\Psi_{as}(1,2) = 0$.~~

$$\Psi_{as}(1,2) = \varphi_1(1) \varphi_2(2) - \varphi_2(1) \varphi_1(2)$$

$$\Psi_{as} = 0$$

Фермионы - состояния, состоящие
которых описывается антисимметричной
волновой функцией, бозоны - для которых
симметричной

Обменное взаимодействие.

Обменное взаимодействие — это фермионное квантово-механическое взаимодействие тонкоструктурных состояний, обуславливающее изменение энергии системы таких состояний, вызванное нарушением симметрии их волновых функций.

Обменное ψ -взаимодействие эквивалентно эффекту их притяжения. Обменное взаимодействие фермионов эквивалентно их растолкновению, ~~т.е.~~ (на расстояниях \sim волн. д. b_p)

$$U = U_{\text{основн}} + U_{\text{обм.}}$$

• Концепция обмена применима при изучении спектров излучения атомов гелия; объясняет связь пара-гелия и орто-гелия, различия энергий конфигураций электронов

* уравнение Паули для n фермионов
Качество много электронами спурных атомов. — ур-е Шредингера с деп. спин-обменным

в компьютерном, упрощающемся

вышше етня:

$$U_e = \sum_{i=1}^N \left(\frac{p_i^2}{2m} - \frac{Ze^2}{4\pi\epsilon_0 |r_i|} \right) + \sum_{i < j} \frac{e^2}{4\pi\epsilon_0 |r_i - r_j|}$$

Для двухэлектронной системы

Волновая функция можно разделить

на 2 осем-е - коорз и спиновую

$$\Psi(r_1, s_1, r_2, s_2) = \Psi(r_1, r_2) \chi(s_1, s_2)$$

Каждое простое система, где

однакая в-е играет роль - двухэлектр +

система в атоме ~~в~~ водорода и гелия.

Электроны авт-с фермионами \Rightarrow

$$\Psi(r_1, s_1, r_2, s_2) = -\Psi(r_2, s_2, r_1, s_1)$$

Асимметрия может быть получена

двух-спиновая - $\Psi(r_1, r_2)$ - сим, $\chi(s_1, s_2)$ - ант

$$\chi_{sym} = \frac{1}{\sqrt{2}} \chi_1(s_{z1}) \chi_2(s_{z2}) \quad \begin{array}{l} \Psi(r_1, r_2) - \text{сим}; \chi(s_1, s_2) - \text{ант} \\ \text{— триплетное состояние} \\ (S=1) \end{array}$$

$$\frac{1}{\sqrt{2}} (\chi_1(s_1) \chi_2(s_2) + \chi_1(s_2) \chi_2(s_1))$$

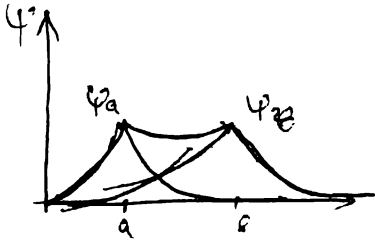
$$\chi_{as} = \frac{1}{\sqrt{2}} (\chi_1(s_1) \chi_2(s_2) - \chi_1(s_2) \chi_2(s_1)) \quad \text{—}$$

но этот спин равен нулю (синглетное состояние)

$$\Psi_{sym}(r_1, r_2) = \frac{1}{\sqrt{2}} (\Psi_1(r_1)\Psi_2(r_2) + \Psi_1(r_2)\Psi_2(r_1))$$

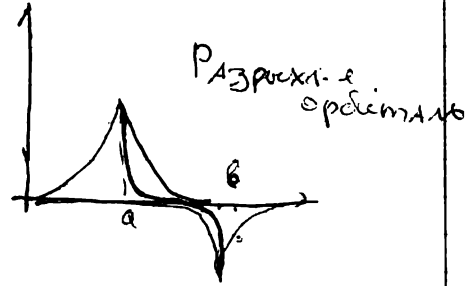
$$\Psi_{as}(r_1, r_2) = \frac{1}{\sqrt{2}} (\Psi_1(r_1)\Psi_2(r_2) - \Psi_1(r_2)\Psi_2(r_1))$$

Симметричные Ψ простор



Связывающие орбитали

Антисимм.-е в.ф.



Разрыхляющие орбитали

Эта теория объясняет

Σ -е орбитали и паразитные -

у волновой функции есть 2 возможности

быть несимметричной.

Но т.к. связывающие орбитали

обеспечивают минимальную энергию

сост. 1, паразитный, с антисимм.-н

спинем, встречается реже, чем

орбитали с симметричной.

Химические связи

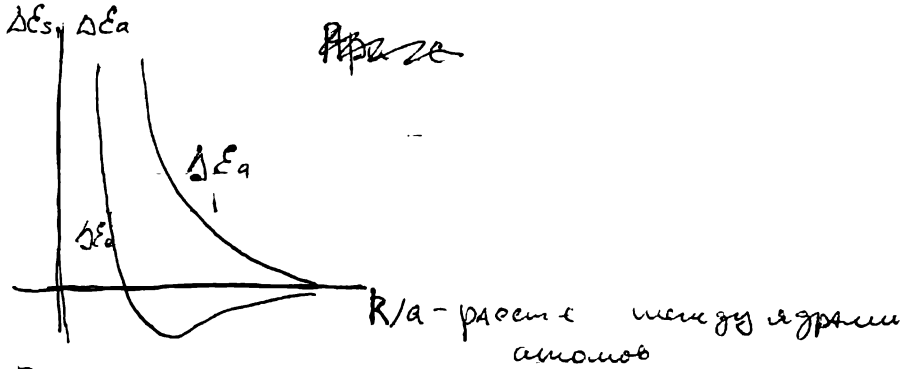
металлы

ионная

ковалентная.

С помощью идеи орбитального взроста
(и только с помощью него)

можно объяснить ковалентную химическую связь
Симы, приводящие к ковалентной
связи, явл-ся обильными.



Получается, что

минимум энергии, необходимый
для получения стабильной связи,

получается только при симметрич
простр. состоят-и и антисим.

Симметрич — только в симметрич
состоянии возможно образование

молекулы, в антисимметрич состоянии

все плохо и связь не обр-ся

Это видно и из вида

орбиталей

но средние между А и В связь

срѣднѣе имеет макс энергию,

а разрыв связи близки к нулю

В симметричном состоянии кривые

расшириваются ядер при достаточном

сближении компенсируется

противоположительн действием

электронов. По среди ядер находится

электроны, стабилизируя их

В трапезном состоянии электроны

не могут находится между ядрами =>

ядра разтолкнутся.

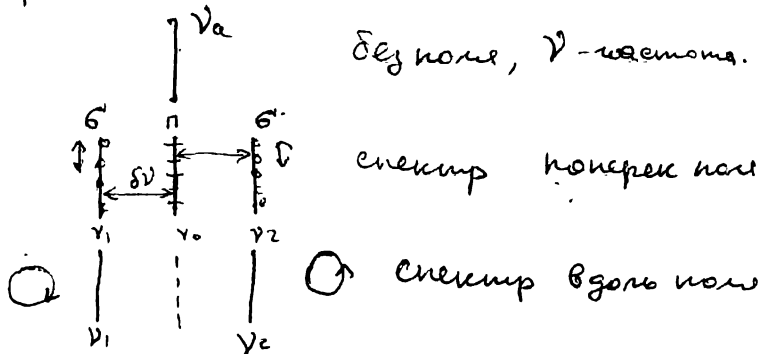
15) Эффект Зеемана.

Магнитный резонанс

Эффект Зеемана.

Простей (нормальный) эффект.

- расширение спектральных линий излучения при наблюдении поперек поля на 3 линии поляризованные компоненты, причем в средней компоненте эл. вектор поляризован по полю, а в крайних - перпендикулярно полю. При наблюдении по полю получаются не смешанные, но несмешанные компоненты излучения. Компоненты поляризованы по кругу в противоположных направлениях.



Классическое δ -возмущение. - Цм. & Цитрон - гарм.
 Без магн. поля осцилляторы в виде квадруп.
 связанных элементов

$$\ddot{r} + \omega_0^2 r = 0$$

с полями: $\ddot{r} + \omega_0^2 r = -\frac{e}{mc} [\dot{r} B]$

$$\Omega = \frac{e}{2mc} B$$

$$\ddot{r} + 2[\dot{r} \Omega] + \omega_0^2 r = 0 \quad] \text{ ось } z \text{ комп. по } B$$

$$\rightarrow \ddot{x} + 2\Omega \dot{y} + \omega_0^2 x = 0$$

$$\ddot{y} - 2\Omega \dot{x} + \omega_0^2 y = 0$$

$$\ddot{z} + \omega_0^2 z = 0 \quad \text{ - магн. поле не влияет на гв. е. элемент по полю }$$

$$\rightarrow] \quad \zeta = x + iy$$

$$\rightarrow \ddot{\zeta} + i 2\Omega \dot{\zeta} + 2\omega_0^2 \zeta = 0, \quad \zeta = e^{i\omega t}$$

$$\Rightarrow -\omega^2 + 2\Omega\omega + \omega_0^2 = 0$$

$$\omega = \Omega \pm \sqrt{\omega_0^2 + \Omega^2}$$

Для сильного поля Ω мало по сравнению с ω_0^2

$$\Rightarrow \omega = \Omega \pm \omega_0$$

$$\Omega \omega_1 = \omega_0 + \Omega, \quad \omega_2 = \omega_0 - \Omega$$

$$\zeta_1 = e^{i\omega_1 t}, \quad \zeta_2 = e^{-i\omega_2 t}$$

$$\Rightarrow \delta\omega = \omega_0 + \Delta\omega, \quad \Delta\omega = -\frac{e}{2mc} h$$

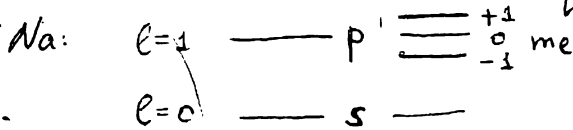
Расклад гв. е. осцил. комбинации из \exp

ком гарм. ~~расклад~~ ~~гв.~~ колебание

~~Квантовое~~ расщепление в поле Z и $g \cdot e \cdot B \cdot X$



Квантовое объяснение: для простого эф. спин. и орбит.

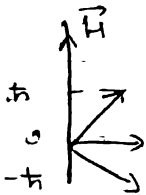


— получаем 3 значения проекции m_l

на направление ~~в~~ поля, и все хорошо

$\omega = \omega_0 + \Delta \omega$, $\Delta \omega = 0, \pm 1$

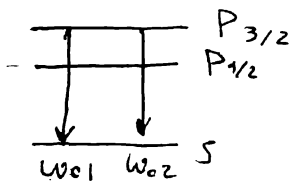
$\omega = \omega_0$, $\omega = \omega_0 \pm \Delta \omega$



m_j — полный момент
конечная величина
 $m_j = l + m_s$

Сложный эффект Зеемана

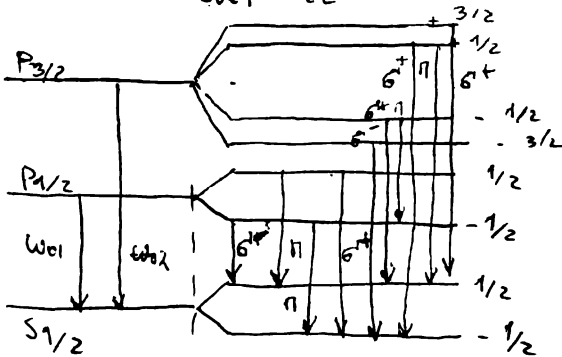
$H=0$



$H \neq 0$

$m_j = \pm 3/2, \pm 1/2 \neq 0!$

$m_j = \pm 1/2, 0$



переходы:

- 1 - σ^+
- 0 - π
- 1 - σ^-

Магнитный резонанс.

На электронах - ЭПР, на ядрах - ЯМР.

$$\underbrace{\tau}_{\hbar \Delta \omega} = - (\mu_s \hbar) = - \underbrace{\mu_s \hbar \cos \theta}_{\text{классика}} = - m_s \hbar H$$

$$\rightarrow \Delta \omega = \Delta \omega(\hbar, m_s) \Rightarrow$$

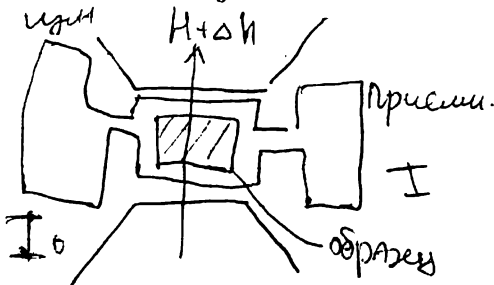
Изменит $\Delta \omega$ можно исследовать квантовую структуру образца.

$$J = [\mu B] = g [J B] \text{ - ур. л. волни}$$

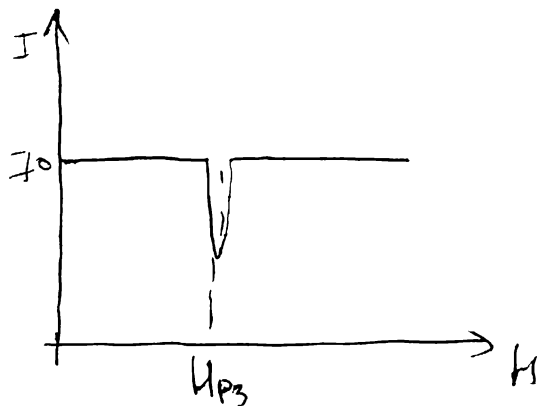
$$\Rightarrow J, \text{ и } \mu \text{ сов-т прецессно с } \Omega = -gB$$

Если нетом внешним магнитным поле B' , и существует эк. вращ. Ω' совпадает со к-ю прецессии, то становится меньше вращения J_z

Схема изучения образца методом ЯМР



Подъем квант. поле и перем. силу магн. е частотой ω_0



$$\mu_s = \frac{e\hbar}{m_{эл}c}$$

$$\mu_f = \frac{e}{m_{\pi}c}$$

Понижение будет происходить, когда $\hbar\omega = \text{энергия расщепления}$

Понижение происходит при $\omega = \omega_{\text{эл}}$ и $\omega_{\text{пр}}$ между уровнями, находящимися при расщеплении — как-то так?

р.п. н.п. ?